

# 第六章：离散时间系统结构

- ◆ 6.1 线性常系数差分方程的方框图表示
- ◆ 6.2 线性常系数差分方程的信号流图表示
- ◆ 6.3 IIR系统的基本结构
- ◆ 6.4 转置形式
- ◆ 6.5 FIR系统的基本网络结构
- ◆ 6.6 有限精度数值效应概述
- ◆ 6.7 系数量化效应
- ◆ 6.8 数字滤波器中舍入噪声效应
- ◆ 6.9 IIR数字滤波器定点实现中的零输入极限环

# 6.8.1 直接型IIR结构分析

## ◆非线性量化模型

直接I型IIR系统差分方程为

$$y[n] = \sum_{k=1}^N a_k y[n-k] + \sum_{k=0}^M b_k x[n-k]$$

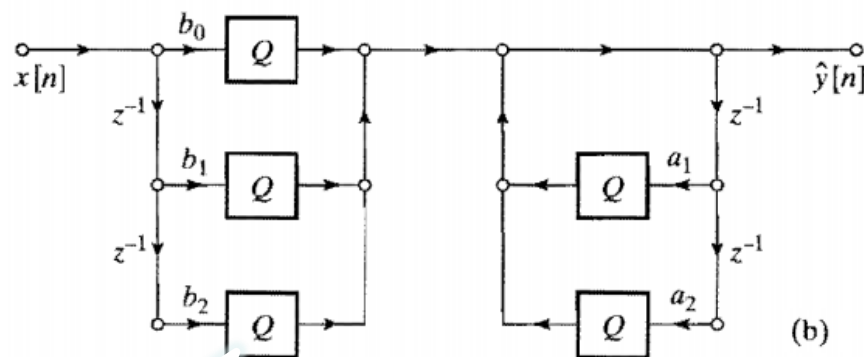
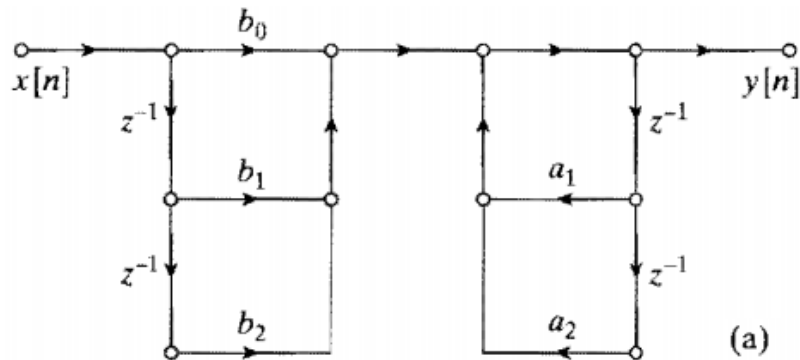
相应的系统函数为

$$H(z) = \frac{\sum_{k=0}^M b_k z^{-k}}{1 - \sum_{k=1}^N a_k z^{-k}}$$

若所有信号值和系数采用  $(B+1)$  位舍入/截尾量化, 系统表示为**非线性**差分方程

$$\hat{y}[n] = \sum_{k=1}^N Q[a_k \hat{y}[n-k]] + \sum_{k=0}^M Q[b_k \hat{x}[n-k]]$$

无限精度模型



非线性  
量化处理

非线性量化模型



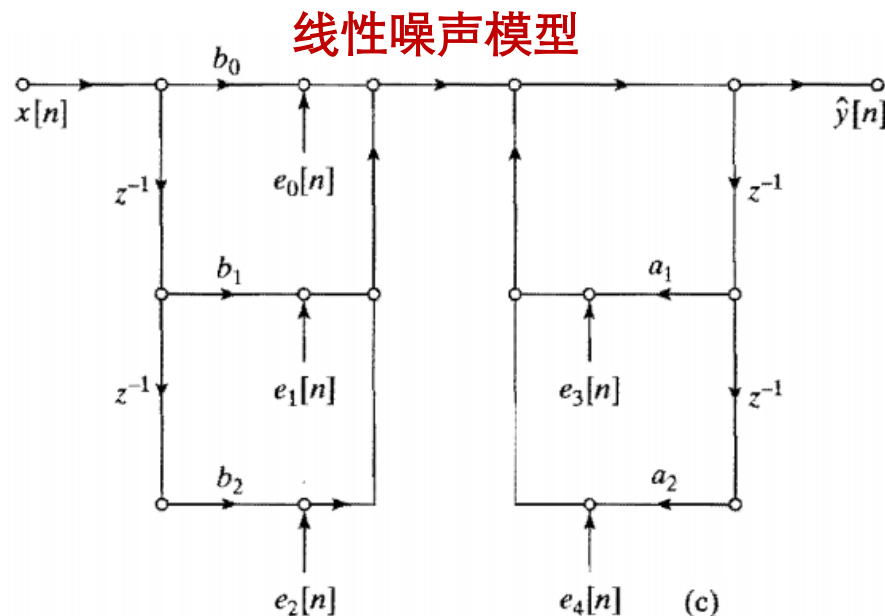
# 6.8.1 直接型IIR结构分析

## ◆量化线性噪声模型

将乘积项量化误差用噪声源表示

$$e[n] = Q[bx[n]] - bx[n]$$

则非线性量化模型转变为  
线性噪声模型



## ◆假设量化噪声源具有如下性质

- 1、每个量化噪声源  $e[n]$  是广义平稳白噪声随机过程。
- 2、每个量化噪声源幅度在一个量化间隔上都是均匀分布的。
- 3、所以量化噪声源的均值与方差都相同。
- 4、每个量化噪声源都与其相应量化器的输入、所有其它量化噪声源以及系统的输入不相关。

# 6.8.1 直接型IIR结构分析

## ◆量化噪声特性分析

对于 $B+1$ 位舍入量化, 其误差范围为:  $-2^{-B}/2 < e \leq 2^{-B}/2$

对于 $B+1$ 位截尾量化, 其误差范围为:  $-2^{-B} < e \leq 0$

对于 $B+1$ 位舍入量化误差的均值和方差为:

$$m_e = 0 \quad \text{和} \quad \sigma_e^2 = \frac{2^{-2B}}{12}$$

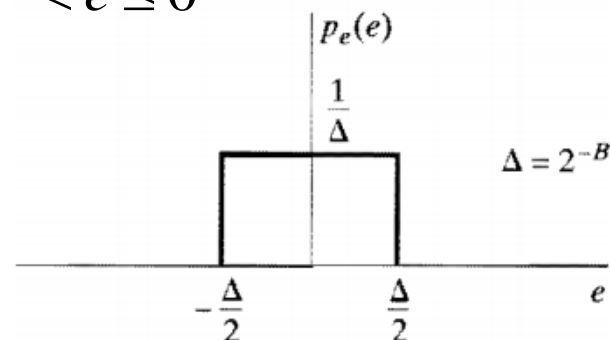
对于 $B+1$ 位截尾量化误差的均值和方差为:

$$m_e = -\frac{2^{-B}}{2} \quad \text{和} \quad \sigma_e^2 = \frac{2^{-2B}}{12}$$

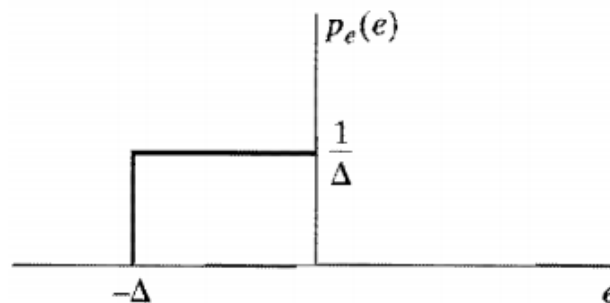
量化误差的自相关函数与功率谱 (见2.10)

$$\phi_{ee}[n] = \sigma_e^2 \delta[n] + m_e^2$$

$$\Phi_{ee}(e^{j\omega}) = \sigma_e^2 + m_e^2 \delta(\omega), \quad |\omega| \leq \pi$$



舍入误差概率密度函数



截尾误差概率密度函数

# 6.8.1 直接型IIR结构分析

## ◆联合量化噪声源模型

对于系统中的**不相关（独立）**的  
量化噪声源，**系统整体量化效应**  
可用**联合噪声源**表示

$$e[n] = e_0[n] + e_1[n] + e_2[n] + e_3[n] + e_4[n]$$

**二阶直接I型联合噪声源的方差为**

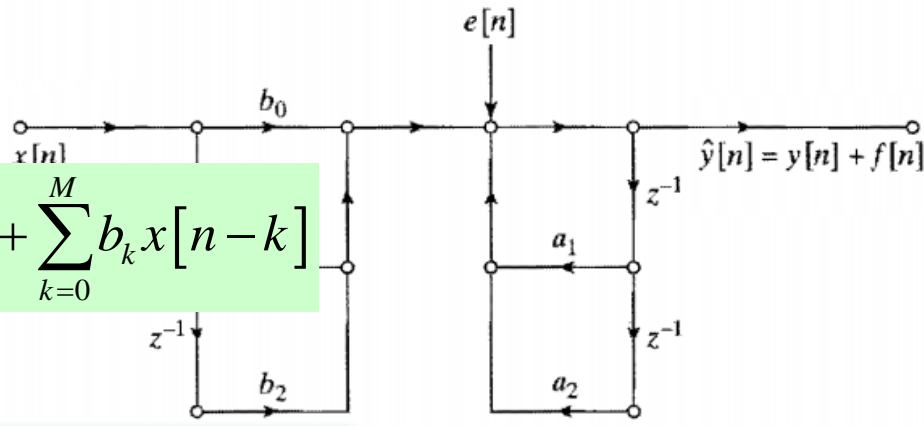
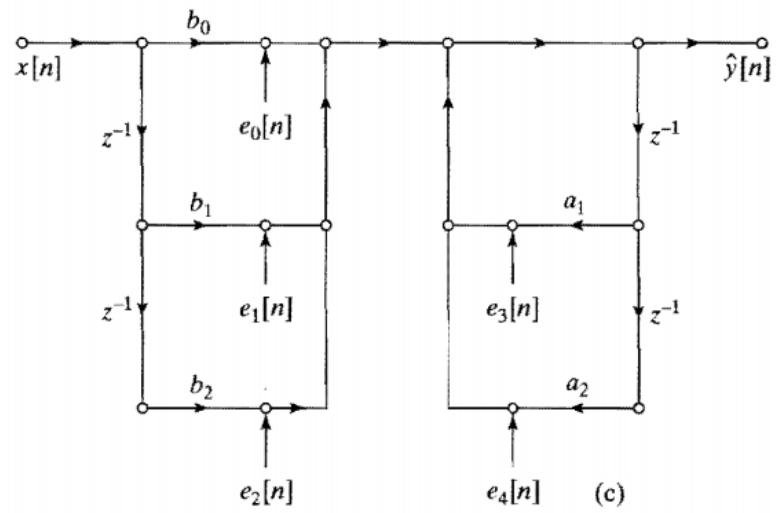
$$\begin{aligned}\sigma_e^2 &= \sigma_{e_0}^2 + \sigma_{e_1}^2 + \sigma_{e_2}^2 + \sigma_{e_3}^2 + \sigma_{e_4}^2 \\ &= 5 \cdot \frac{2^{-2B}}{12}\end{aligned}$$

$$y[n] = \sum_{k=1}^N a_k y[n-k] + \sum_{k=0}^M b_k x[n-k]$$

**一般直接I型联合噪声源的方差为**

$$\sigma_e^2 = (M + 1 + N) \frac{2^{-2B}}{12}$$

M+1为正向系统系数个数  
N为反馈系统系数个数



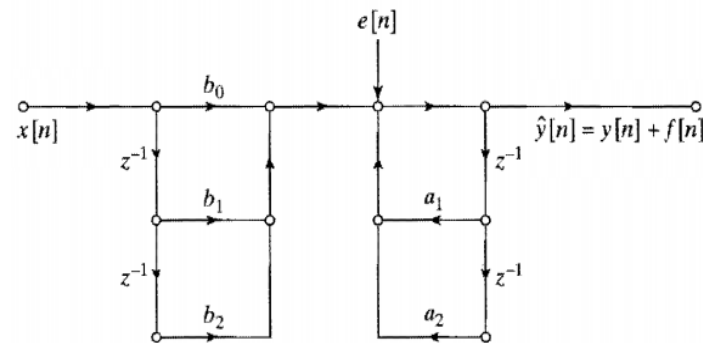
具有联合噪声源的  
直接I型 噪声模型

# 6.8.1 直接型IIR结构分析

## ◆联合量化噪声特性分析

对于线性系统，联合噪声模型的输出可表示为

$$\hat{y}[n] = y[n] + f[n]$$



具有联合噪声源的直接型噪声模型

$y[n]$  和  $f[n]$  分别为系统对信号  $x[n]$  和噪声  $e[n]$  的响应（输出）。

其中输出噪声的系统差分方程可表示为

$$f[n] = \sum_{k=1}^N a_k f[n-k] + e[n]$$

噪声系统  
为IIR系统

$$H_{ef}(z) = 1 / \left( 1 - \sum_{k=1}^N a_k z^{-k} \right)$$

考虑白噪声  $e[n]$  通过系统函数为  $H_{ef}(z)$  的线性系统，其输出  $f[n]$  的均值可表示为（推导参见2.10节（2.189，2.190）式）

$$m_f = m_e \sum_{n=-\infty}^{\infty} h_{ef}[n] = m_e H_{ef}(e^{j0})$$

$$f[n] = \sum_{k=-\infty}^{\infty} e[k] h_{ef}[k-n]$$

对于舍入量化， $m_f = 0$ 。

噪声系统的  
单位脉冲响应

噪声系统的频率  
响应的直流分量

## 6.8.1 直接型IIR结构分析

### ◆联合量化噪声特性分析（续）

对于舍入量化，输出噪声功率谱密度为

$$P_{ff}(\omega) = \Phi_{ff}(e^{j\omega}) = \sigma_e^2 |H_{ef}(e^{j\omega})|^2, \quad |\omega| \leq \pi$$

相应地，输出噪声方差为

$$\sigma_f^2 = \frac{1}{2\pi} \int_{-\pi}^{\pi} P_{ff}(\omega) d\omega = \sigma_e^2 \frac{1}{2\pi} \int_{-\pi}^{\pi} |H_{ef}(e^{j\omega})|^2 d\omega$$

由帕斯瓦尔定理，输出噪声方差亦可表示为

$$\sigma_f^2 = \sigma_e^2 \sum_{n=-\infty}^{\infty} |h_{ef}[n]|^2$$

采用 $B+1$ 比特量化的联合噪声源一般直接I型系统的输出噪声方差为

$$\sigma_f^2 = (M+1+N) \frac{2^{-2B}}{12} \sum_{n=-\infty}^{\infty} |h_{ef}[n]|^2$$



# 6.8.1 直接型IIR结构分析

## ◆噪声功率谱与方差计算示例

设需要实现的系统的系统函数为

$$H(z) = \frac{b}{1 - az^{-1}}, \quad |a| < 1$$

两个系数乘法器输出用 $B+1$ 比特量化

每个噪声源经过的系统的单位脉冲响应为

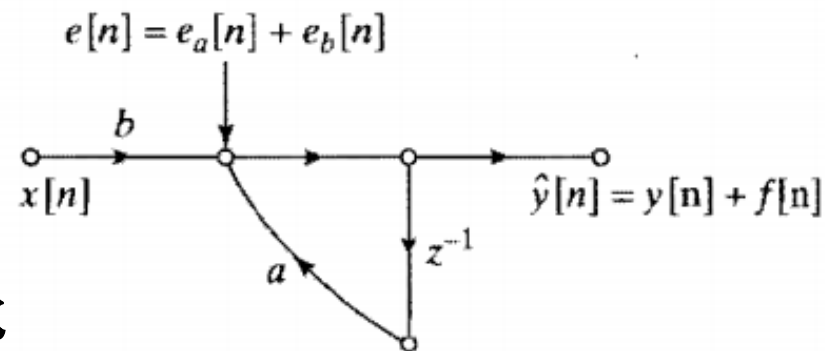
$$h_{ef}[n] = a^n u[n]$$

输出噪声功率谱为

$$P_{ff}(\omega) = 2 \frac{2^{-2B}}{12} \left( \frac{1}{1 + a^2 - 2a \cos \omega} \right)$$

输出总噪声方差为

$$\sigma_f^2 = 2 \frac{2^{-2B}}{12} \sum_{n=0}^{\infty} |a|^{2n} = 2 \frac{2^{-2B}}{12} \left( \frac{1}{1 - |a|^2} \right)$$



一阶系统线性噪声模型

$$\left| H_{ef}(e^{j\omega}) \right|^2 = \left| \frac{1}{1 - ae^{-j\omega}} \right|^2 = \frac{1}{1 + a^2 - 2a \cos \omega}$$





## 6.8.2 IIR系统定点实现中的幅度加权

◆若约定IIR系统中每个**定点数**都表示成一个小数，那么网络中**每个节点**必须限制其**节点幅值不超过1**以避免溢出

记  $w_k[n]$  为第  $k$  个节点的节点值， $h_k[n]$  为从输入  $x[n]$  到该节点变量的**单位脉冲响应**，那么该节点的**幅值**可表示为

$$|w_k[n]| = \left| \sum_{m=-\infty}^{\infty} x[n-m] h_k[m] \right|$$

若记  $x_{\max}$  为输入  $x[n]$  的**最大值**，则有

$$|w_k[n]| \leq x_{\max} \left| \sum_{m=-\infty}^{\infty} h_k[m] \right| \leq x_{\max} \sum_{m=-\infty}^{\infty} |h_k[m]|$$

使得  $|w_k[n]| < 1$  的**充分条件**是下式对网络中**所有节点**成立

$$x_{\max} < 1 / \sum_{m=-\infty}^{\infty} |h_k[m]|$$

若  $x_{\max}$  不满足上式，可将输入  $x[n]$  乘**标量因子**  $s$ ，为使  $s x_{\max}$  在**所有节点**上满足  $|w_k[n]| < 1$ ，则  $s x_{\max}$  须满足下式

$$s x_{\max} < 1 / \max_k \sum_{m=-\infty}^{\infty} |h_k[m]|$$

**s选取边界-1:**  
受限于**脉冲响应幅度和**  
(**联合最大信号幅度**)

## 6.8.2 IIR系统定点实现中的幅度加权

◆对于窄带输入信号，若加权信号，使得经过所有节点幅度响应取最大值的频点不产生溢出，则可避免所有节点值溢出。

假设输入为一个窄带信号，即  $x[n] = x_{\max} \cos \omega_0 n$ ，则节点值可表示为

$$w_k[n] = \left| H_k(e^{j\omega_0}) \right| x_{\max} \cos(\omega_0 n + \angle H_k(e^{j\omega_0}))$$

因此，如果

$$\max_{k, |\omega| \leq \pi} \left| H_k(e^{j\omega}) \right| x_{\max} < 1$$

所有频率分量的幅值受限

或者将输入  $x[n]$  乘标量因子  $s$ ，使得  $sx_{\max}$  在所有节点上满足

$$sx_{\max} < 1 / \max_{k, |\omega| \leq \pi} \left| H_k(e^{j\omega}) \right|$$

$s$ 选取边界-2:  
受限于频率响应峰值  
(针对窄带信号)

则，对所有（频率）正弦信号，节点溢出都可以避免！



# 6.8.2 IIR系统定点实现中的幅度加权

◆若加权输入信号，使得每个节点**变量序列的总能量**小于或等于**输入序列的总能量**，亦可避免节点值**溢出**。

序列  $w_k[n]$  的**总能量**界定为

$$\sum_{n=-\infty}^{\infty} |w_k[n]|^2 = \frac{1}{2\pi} \int_{-\pi}^{\pi} |H_k(e^{j\omega}) X(e^{j\omega})|^2 d\omega$$
$$\leq \sum_{n=-\infty}^{\infty} |x[n]|^2 \frac{1}{2\pi} \int_{-\pi}^{\pi} |H_k(e^{j\omega})|^2 d\omega$$

**施瓦茨不等式：**  
相乘的积分小于  
等于积分的相乘

$$\sum_{n=-\infty}^{\infty} |sx[n]|^2 \frac{1}{2\pi} \int_{-\pi}^{\pi} |H_k(e^{j\omega})|^2 d\omega$$
$$\leq \sum_{n=-\infty}^{\infty} |x[n]|^2$$

若要  $\sum_{n=-\infty}^{\infty} |w_k[n]|^2 \leq \sum_{n=-\infty}^{\infty} |x[n]|^2$ ，可将输入  $x[n]$  乘**标量因子**  $s$ ，使得

$$s^2 < 1 / \left( \frac{1}{2\pi} \int_{-\pi}^{\pi} |H_k(e^{j\omega})|^2 d\omega \right) = 1 / \sum_{n=-\infty}^{\infty} |h_k[n]|^2$$

**s选取边界-3：**  
受限于**脉冲响应能量**  
(与输入信号无关)

可以证明，对于第**k**个节点，三种标量因子边界满足：

$$\left\{ 1 / \sum_{n=-\infty}^{\infty} |h_k[n]|^2 \right\}^{1/2} \geq 1 / \max_{k, |\omega| \leq \pi} |H_k(e^{j\omega})| \geq 1 / \sum_{n=-\infty}^{\infty} |h_k[n]|$$

脉冲响应能量  
s边界

频率响应峰值  
s边界

脉冲响应幅度和  
s边界



## 6.8.2 IIR系统定点实现中的幅度加权

例：幅度加权与舍入量化之间的相互影响理论分析

考虑一阶系统的系统函数为

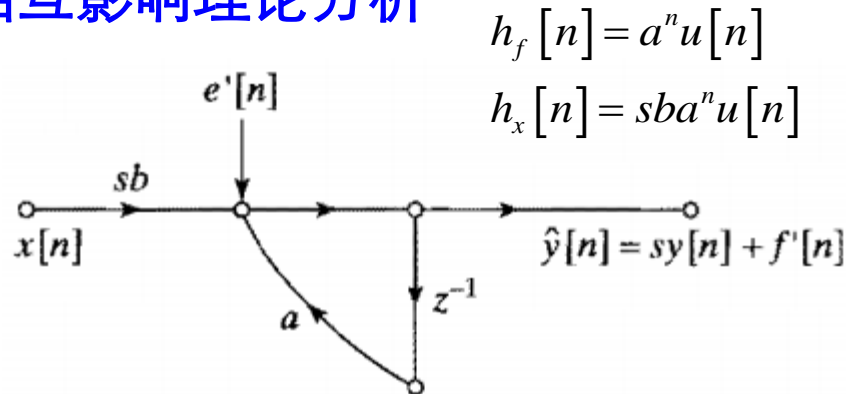
$$H(z) = \frac{b}{1 - az^{-1}}$$

对输入信号加权以免输出溢出。

假设输入信号为-1和+1之间均匀分布的白噪声，其概率密度的幅度为1/2，则信号方差为  $\sigma_x^2 = 1/3$ 。

根据节点值幅度和限定条件，保证信号输出不溢出的标量因子（最大值）可取值为

$$s = \frac{1}{x_{\max} \sum_{m=-\infty}^{\infty} |h[m]|} = \frac{1}{\sum_{n=0}^{\infty} |b| |a|^n} = \frac{1 - |a|}{|b|}$$



$$h_f[n] = a^n u[n]$$

$$h_x[n] = sba^n u[n]$$

幅度加权一阶系统线性噪声模型

## 6.8.2 IIR系统定点实现中的幅度加权

例：幅度加权与舍入量化之间的相互影响理论分析（续）

输出总噪声方差为

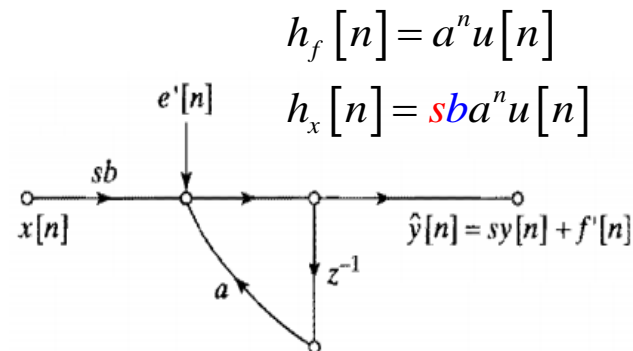
$$\sigma_{f'}^2 = 2 \frac{2^{-2B}}{12} \sum_{n=0}^{\infty} |a|^{2n} = 2 \frac{2^{-2B}}{12} \left( \frac{1}{1-|a|^2} \right) = \sigma_f^2$$

输入为幅度加权信号的输出信号方差为

$$\sigma_{y'}^2 = \frac{1}{3} \cdot s^2 \cdot \left( \frac{b^2}{1-|a|^2} \right) = s^2 \sigma_y^2$$

输入为幅度加权信号的输出SNR为

$$\frac{\sigma_{y'}^2}{\sigma_{f'}^2} = s^2 \frac{\sigma_y^2}{\sigma_f^2} = \left( \frac{1-|a|}{|b|} \right)^2 \frac{\sigma_y^2}{\sigma_f^2}$$



幅度加权一阶系统线性噪声模型

由于 $s$ 一般小于1，因此幅度加权的系统比未幅度加权的系统输出SNR降低为 $s^2$ 倍

## 6.8.3 级联IIR结构分析示例

### ◆ 幅度加权对舍入量化系统的影响示例

例：设低通IIR椭圆滤波器，幅度响应满足

$$\begin{cases} 0.99 \leq |H(e^{j\omega})| \leq 1.01, & |\omega| \leq 0.5\pi \\ |H(e^{j\omega})| \leq 0.01 (-40dB), & 0.56\pi \leq |\omega| \leq \pi \end{cases}$$

级联型实现的系统函数和系数如下

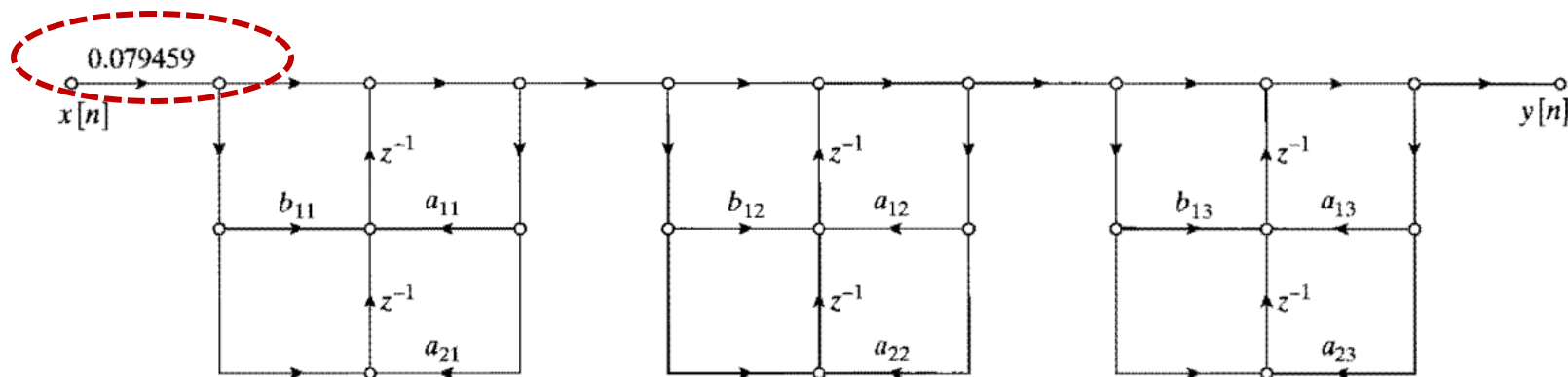
$$H(z) = 0.079459 \prod_{k=1}^3 \frac{1 + b_{1k}z^{-1} + z^{-2}}{1 - a_{1k}z^{-1} - a_{2k}z^{-2}} = 0.079459 \prod_{k=1}^3 H_k(z)$$

表6.4

$k$	$a_{1k}$	$a_{2k}$	$b_{1k}$
1	0.478882	-0.172150	1.719454
2	0.137787	-0.610077	0.781109
3	-0.054779	-0.902374	0.411452



## 6.8.3 级联IIR结构分析示例



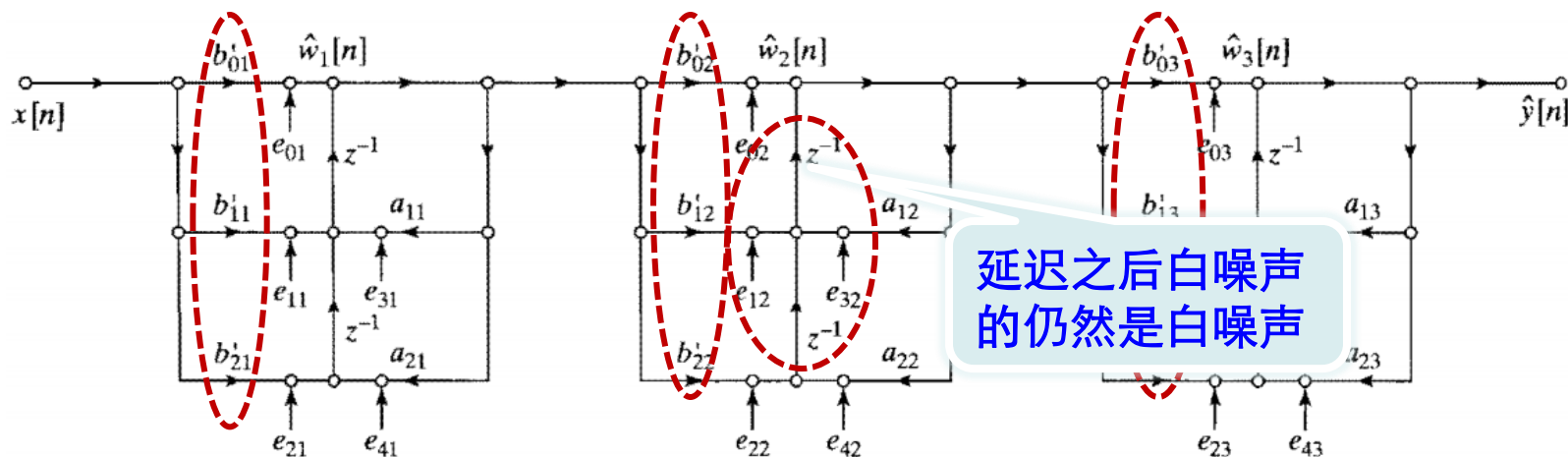
二阶转置直接II型子系统级联型IIR实现

系统输入端幅度加权可避免系统溢出，但所有噪声源均位于幅度加权之后，将导致系统SNR降低最严重

在避免溢出的条件下，应使幅度加权尽量靠近输出端，尽量使噪声也加权（衰减），从而降低SNR损失。

对级联型系统，可将系统总幅度加权分配在各子系统中分别加权，以避免各级子系统溢出，同时减小系统总SNR损失。

## 6.8.3 级联IIR结构分析示例



子系统分别加权级联型IIR线性噪声模型

各级中增益分配方法可表示为

$$H(z) = s_1 H_1(z) s_2 H_2(z) s_3 H_3(z)$$

式中  $s_1 \cdot s_2 \cdot s_3 = 0.079459$  。

级联型实现的系统函数可改变为

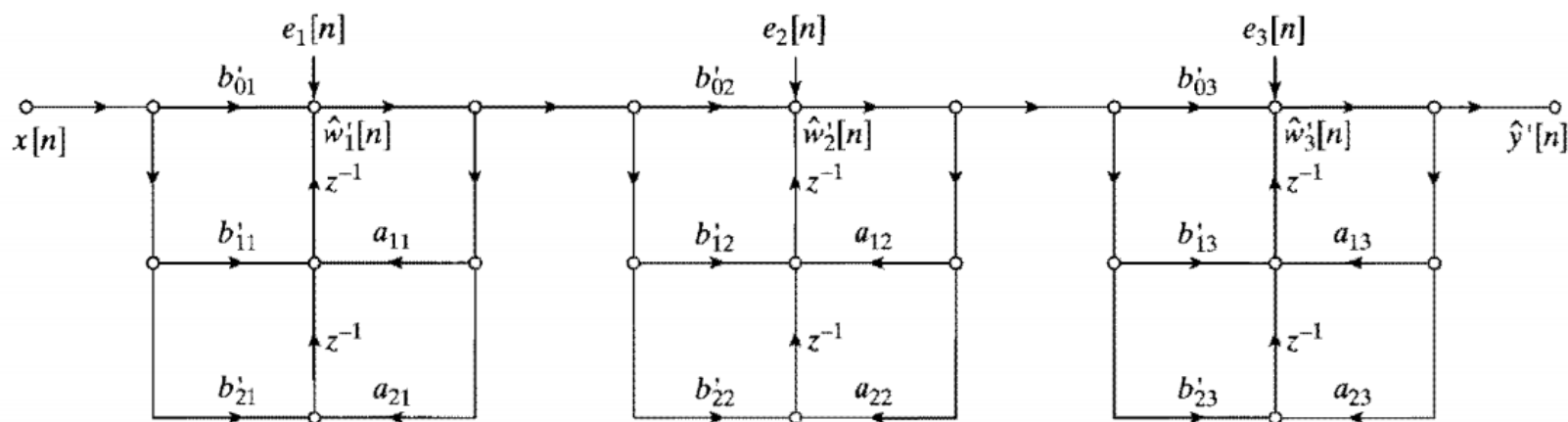
$$H(z) = \prod_{k=1}^3 \frac{b'_{0k} + b'_{1k} z^{-1} + b'_{2k} z^{-2}}{1 - a_{1k} z^{-1} - a_{2k} z^{-2}} = \prod_{k=1}^3 H'_k(z)$$

式中  $b'_{0k} = b'_{2k} = s_k$ ,  $b'_{1k} = s_k b_{1k}$ ,  $H'_k(z) = s_k H_k(z)$  。





## 6.8.3 级联IIR结构分析示例



子系统分别加权级联型IIR联合噪声源线性噪声模型

对于舍入量化，总噪声功率谱密度和方差为

$$P_{f'f'}(\omega) = 5 \cdot \frac{2^{-2B}}{12} \left[ \frac{s_2^2 |H_2(e^{j\omega})|^2 s_3^2 |H_3(e^{j\omega})|^2}{|A_1(e^{j\omega})|^2} + \frac{s_3^2 |H_3(e^{j\omega})|^2}{|A_2(e^{j\omega})|^2} + \frac{1}{|A_3(e^{j\omega})|^2} \right]$$

$$\sigma_{f'}^2 = \frac{1}{2\pi} \int_{-\pi}^{\pi} P_{f'f'}(\omega) d\omega = 5 \cdot \frac{2^{-2B}}{12} \left[ \frac{1}{2\pi} \int_{-\pi}^{\pi} \frac{s_2^2 |H_2(e^{j\omega})|^2 s_3^2 |H_3(e^{j\omega})|^2}{|A_1(e^{j\omega})|^2} d\omega + \frac{1}{2\pi} \int_{-\pi}^{\pi} \frac{s_3^2 |H_3(e^{j\omega})|^2}{|A_2(e^{j\omega})|^2} d\omega + \frac{1}{2\pi} \int_{-\pi}^{\pi} \frac{1}{|A_3(e^{j\omega})|^2} d\omega \right]$$

## 6.8.3 级联IIR结构分析示例

### ◆级联系统幅度加权因子各级分配方法

对于输入单位幅度正弦信号，为避免本系统溢出，标量因子  $s_k$  的选择可基于以下的限定条件

$$\begin{cases} s_1 \max_{|\omega| \leq \pi} |H_1(e^{j\omega})| < 1 \\ s_1 s_2 \max_{|\omega| \leq \pi} |H_1(e^{j\omega}) H_2(e^{j\omega})| < 1 \\ s_1 \cdot s_2 \cdot s_3 = 0.079459 \end{cases}$$

第一级网段溢出避免的  
标量因子选择条件

第一、二级级联网段溢出  
避免的标量因子选择条件

三级总网络溢出避免的  
标量因子选择条件

基于表6.4给出的系数，可得加权因子为

$$s_1 = 0.186447, \quad s_2 = 0.529236, \quad s_3 = 0.805267$$

## 6.8.3 级联IIR结构分析示例

### ◆级联型结构中各网段的零极点配对

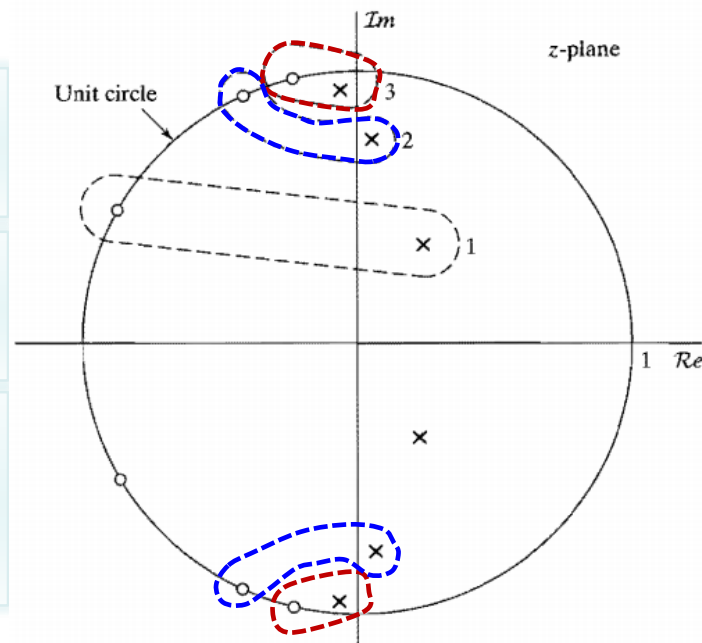
系统输出**噪声功率谱**的形状和总输出**噪声方差**取决于低阶网段的零点与极点的**配对方式**，以及在级联实现中各网段的**先后次序**。

由 $N$ 个网段构成的系统，有 $N!$ 种零极点配对方式和 $N!$ 种二阶网段的级联次序，总共 $(N!)^2$ 种不同的系统结构；另可选择直接**I**型和**II**型，及其转置。

例： $N=3$ 和 $5$ 时，可选择的系统结构分别为 $144$ 和 $57600$ 种。

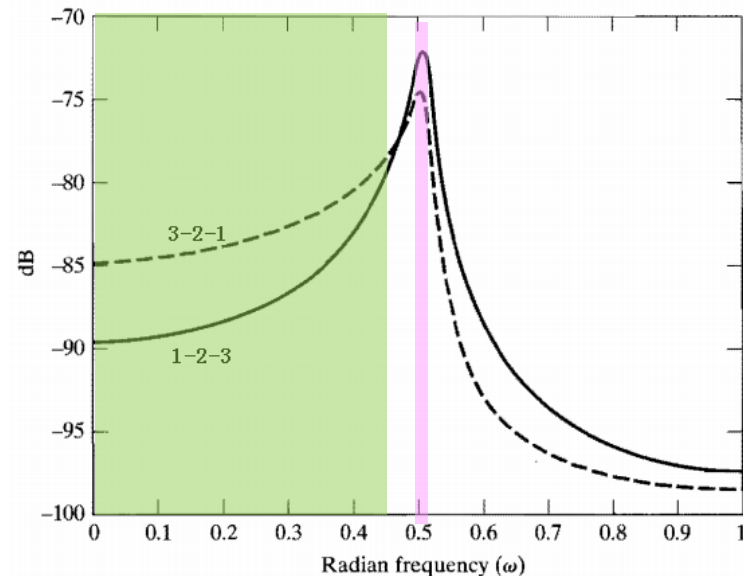
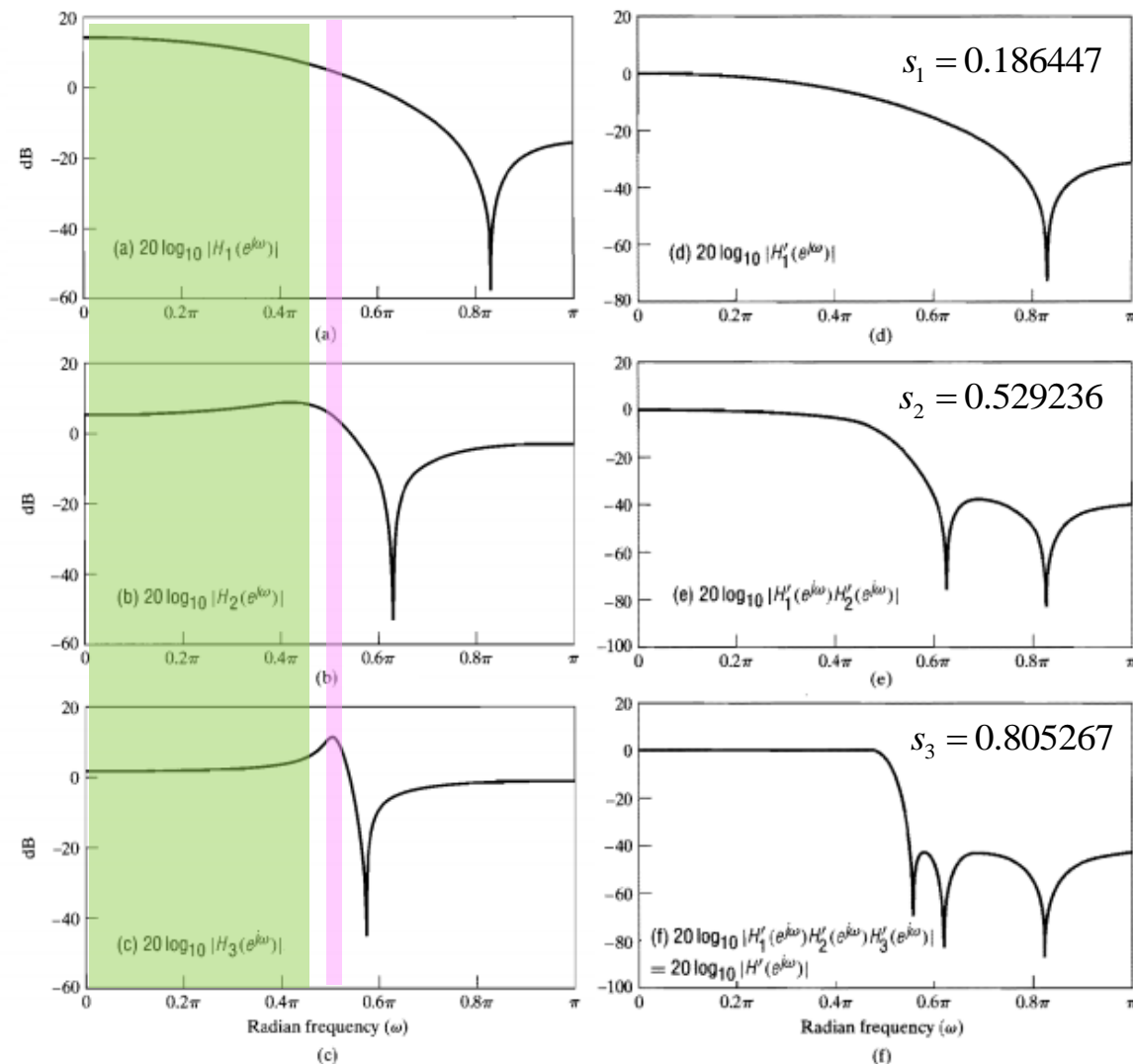
### 零极点配对简单规则

- 1、在 $z$ 平面内，最靠近单位圆的极点应该与紧靠它的零点配对；
- 2、重复应用规则1 直到全部零点和极点都配对完；
- 3、所求得的二阶网段应该**按极点靠近单位圆的程度**级联——要么按靠近单位圆**递增**程度为次序；要么按靠近单位圆**递减**程度为次序。



# 6.8.3 级联IIR结构分析示例

## 级联型零极点配对 (续)



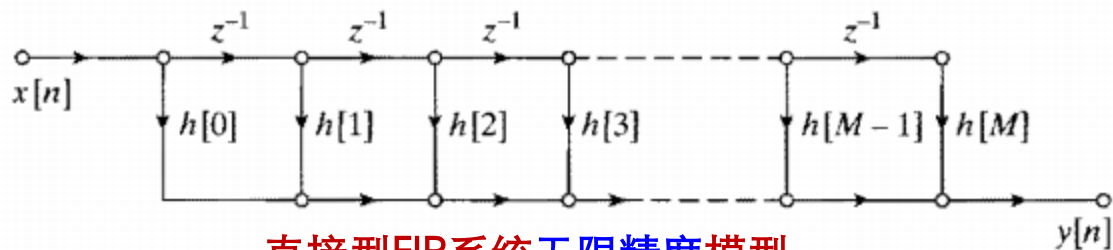
**1-2-3级联：**噪声经过 $H_3$ 两次， $H_2$ 一次；极点频率处幅度增强，低频幅度偏低；

**3-2-1级联：**噪声经过 $H_1$ 两次， $H_2$ 一次；低频幅度增强，极点频率处幅度偏低；

## 6.8.4 直接型FIR系统分析

直接型FIR系统可表示为如下形式

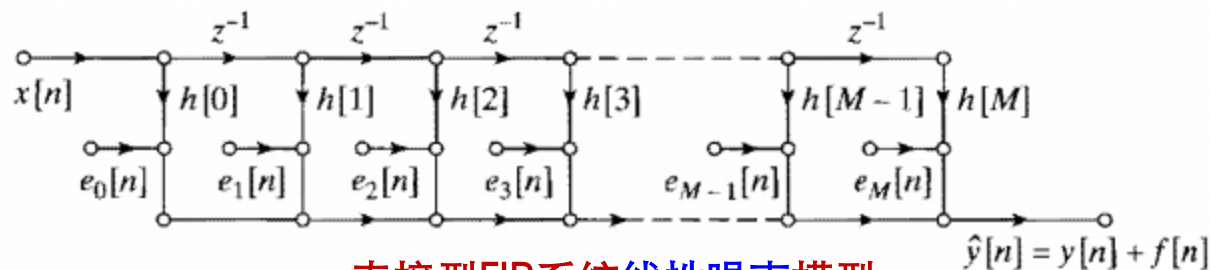
$$y[n] = \sum_{k=0}^M h[k] x[n-k]$$



直接型FIR系统无限精度模型

$M+1$ 个噪声源联合噪声源的总噪声方差为

$$\sigma_f^2 = (M+1) \frac{2^{-2B}}{12}$$



直接型FIR系统线性噪声模型

FIR系统无反馈项，噪声系统脉冲响应为

$$h_{ef}[n] = \delta[n]$$

当采用双倍位宽累加器时，仅需对系统输出值进行一次量化，此时总噪声方差计算公式中  $M=0$ 。

# 第六章：离散时间系统结构

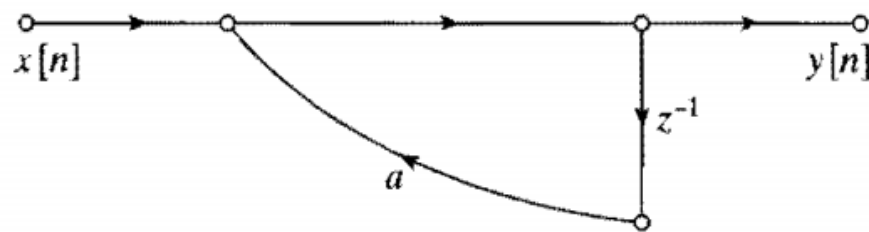
- ◆ 6.1 线性常系数差分方程的方框图表示
- ◆ 6.2 线性常系数差分方程的信号流图表示
- ◆ 6.3 IIR系统的基本结构
- ◆ 6.4 转置形式
- ◆ 6.5 FIR系统的基本网络结构
- ◆ 6.6 有限精度数值效应概述
- ◆ 6.7 系数量化效应
- ◆ 6.8 数字滤波器中舍入噪声效应
- ◆ 6.9 IIR数字滤波器定点实现中的零输入极限环

# 6.9.1 由舍入和截尾引起的极限环

## ◆一阶系统的极限环现象

一阶系统差分方程为

$$y[n] = ay[n-1] + x[n], \quad |a| < 1$$

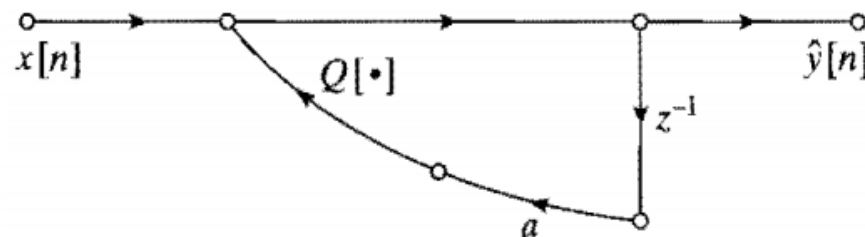


一阶系统无限精度模型

假设系数  $a$ 、输入  $x[n]$  和节点变量  $y[n-1]$  均采用4位 ( $B=3$ ) 存储; 乘积  $ay[n-1]$  舍入量化到4位。

量化系统非线性差分方程为

$$\hat{y}[n] = Q[ay[n-1]] + x[n], \quad |a| < 1$$



一阶系统量化模型

# 6.9.1 由舍入和截尾引起的极限环

## ◆一阶系统的极限环现象（续）

量化系统非线性差分方程为

$$\hat{y}[n] = Q[a\hat{y}[n-1]] + x[n], \quad |a| < 1$$

假设  $a = 1/2 = 0_{\diamond}100$ ,  $y[-1] = 0$

$$x[n] = 7/8\delta[n] = 0_{\diamond}111\delta[n]$$

则输出样值为

$$\hat{y}[0] = x[0] = 7/8 = 0_{\diamond}111$$

$$\hat{y}[1] = Q[a\hat{y}[0]] = Q[0_{\diamond}011\textcolor{red}{100}] = 0_{\diamond}\textcolor{red}{100}$$

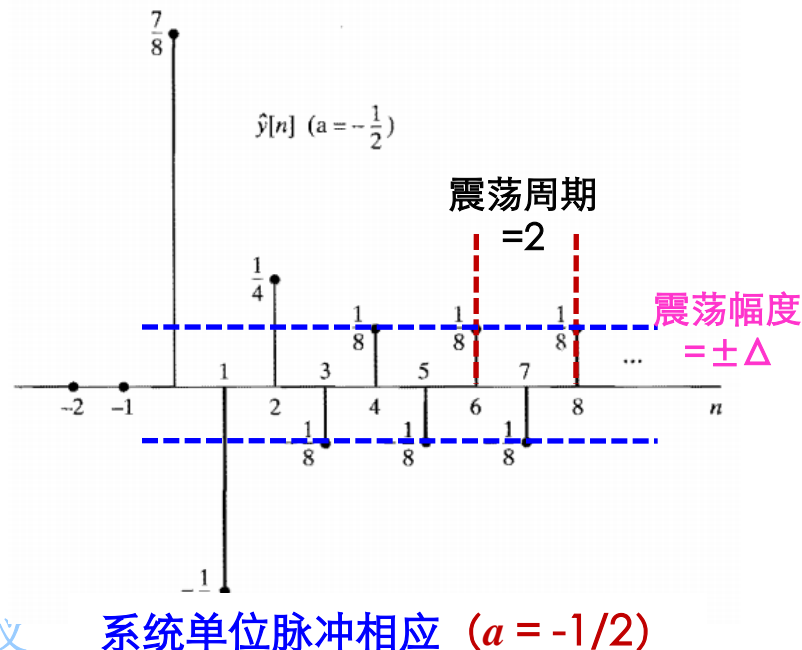
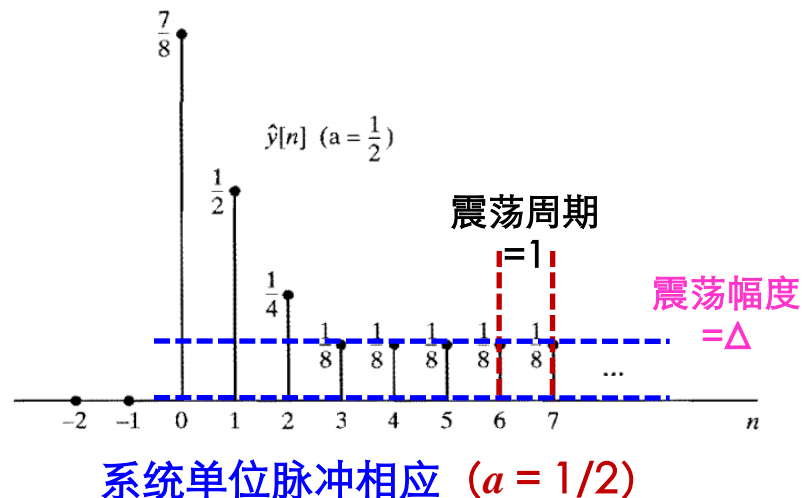
$$\hat{y}[2] = Q[a\hat{y}[1]] = Q[0_{\diamond}010000] = 0_{\diamond}010$$

$$\hat{y}[3] = Q[a\hat{y}[2]] = Q[0_{\diamond}001000] = 0_{\diamond}001$$

$$\hat{y}[4] = Q[a\hat{y}[3]] = Q[0_{\diamond}000\textcolor{red}{100}] = 0_{\diamond}\textcolor{red}{001}$$

...

$$\hat{y}[n] = Q[a\hat{y}[n-1]] = 0_{\diamond}\textcolor{red}{001}, \quad n \geq 3$$





## 6.9.2 由溢出引起的极限环

◆ **溢出震荡**：由溢出导致的系统输出在大幅度的极限值之间震荡

例：二阶系统的溢出震荡

量化 ( $B=3$ ) 系统非线性差分方程为

$$\hat{y}[n] = Q[a_1 \hat{y}[n-1]] + Q[a_2 \hat{y}[n-2]] + x[n]$$

假设  $a_1 = 3/4 = 0_{\diamond}110$ ,  $a_2 = -3/4 = 1_{\diamond}010$ ,  $x[n] = 0$ ,  $n \geq 0$

$$\hat{y}[-1] = 3/4 = 0_{\diamond}110, \quad \hat{y}[-2] = -3/4 = 1_{\diamond}010$$

则,  $n \geq 0$  时的输出样值为

$$\hat{y}[0] = 0_{\diamond}110 \times 0_{\diamond}110 + 1_{\diamond}010 \times 1_{\diamond}010 = 0_{\diamond}100100 + 0_{\diamond}100100$$

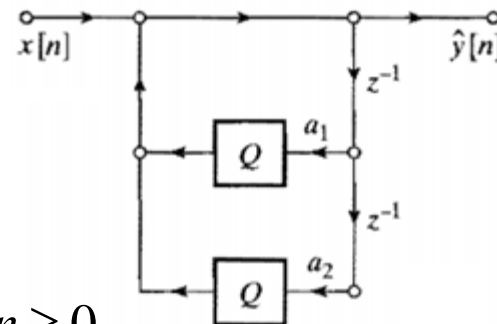
乘积采用4位向上舍入量化

$$\hat{y}[0] = Q[0_{\diamond}100\mathbf{1}00] + Q[0_{\diamond}100\mathbf{1}00] = 0_{\diamond}10\mathbf{1} + 0_{\diamond}10\mathbf{1} = 1_{\diamond}010 = -3/4$$

以此类推

$$\hat{y}[1] = 1_{\diamond}011 + 1_{\diamond}011 = 0_{\diamond}110 = 3/4$$

$$\hat{y}[2] = 0_{\diamond}101 + 0_{\diamond}101 = 1_{\diamond}010 = -3/4$$



输出  $\hat{y}[n]$  将一直在  $-3/4$  与  $+3/4$  之间不停震荡, 且震荡幅度几乎是满量程幅度。



## 6.9.3 极限环消除

一般数字信号处理系统设计时需要**避免出现极限环**，如用于数字语音处理的数字滤波器若存在极限环，将出现单音干扰。

消除极限环的途径是系统设计时**采用不会导致极限环出现的实现结构**，但该类结构往往比等效的级联/并联结构更复杂。

**增加运算字长**是一种消除**溢出震荡**和**舍入极限环**的有效方法，因此，极限环问题就是要在字长和计算复杂度之间折中。

IIR系统中的反馈回路是产生极限环的**必要条件**，因此，对于不能容许极限环的系统，**采用无反馈的FIR系统**是有效选择。